

# 高次の磁気異方性を有する自由層の磁化反転特性

松本利映\*, 荒井礼子\*\*, 湯浅新治\*, 今村裕志\*

(\*産総研, \*\*JST さきがけ)

Magnetization switching property in a free layer having higher-order magnetic anisotropy

R. Matsumoto\*, H. Arai\*\*, S. Yuasa\*, and H. Imamura\*

(\*AIST, \*\*JST-PRESTO)

## 1 はじめに

CPU の SRAM や DRAM を置き換えるための STT-MRAM を開発するためには、その熱耐性 ( $\Delta_0$ ) を 60 以上に保持しつつスピントランスファー・トルク磁化反転の閾値電流密度 ( $J_{sw}$ ) を  $1 \text{ MA/cm}^2$  以下に低減させることが求められる。最近我々は、等しい熱耐性 ( $\Delta_0=60$ ) で比較した場合、コーン磁化の自由層 (c-FL) は従来の垂直磁化の自由層より閾値電流密度は 22% 小さく磁化反転時間は 56% 短くなることなど、c-FL の優位性を理論的に明らかにしてきた<sup>1,2)</sup>。コーン磁化とは、低次の磁気異方性 (その定数を  $K_{u1,eff}$  と呼び、反磁場エネルギーを含めたものとする) と高次の磁気異方性 (その定数を  $K_{u2}$  と呼ぶ) の競合で発現する磁化状態で、その磁化は面内方向と面直方向の間の方向を向く。コーン磁化にならずとも  $K_{u2}$  は  $J_{sw}$  低減に有利であると考えられる。本研究では、 $K_{u2}$  を有する自由層を利用した STT-MRAM 素子の  $\Delta_0$  と  $J_{sw}$  を解析的に計算し、その効果を調べた。

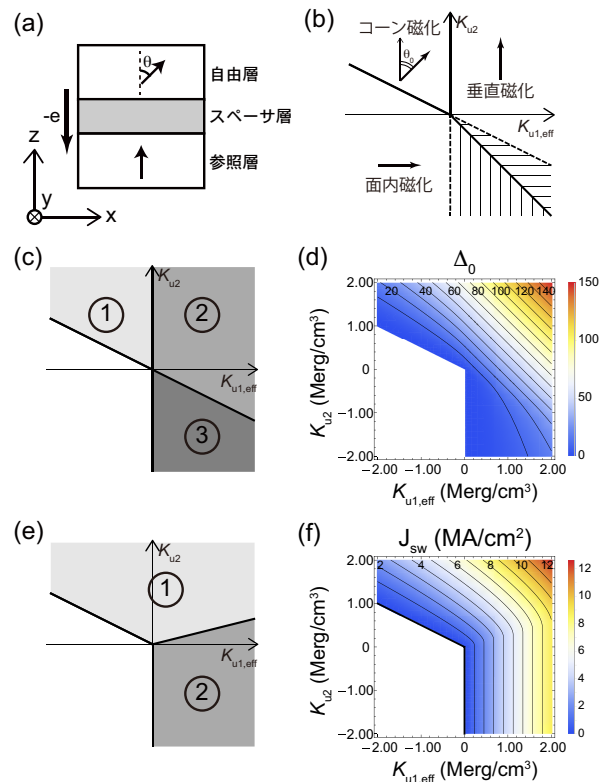
## 2 結果および考察

本研究で考慮する STT-MRAM 素子を図 1(a) に図示した。参照層は垂直磁化で、自由層は垂直磁化かコーン磁化である。極角 ( $\theta$ ) は  $z$  軸から測った角度である。正の電流のとき電子 (電気素量を  $e$  とする) は自由層から参照層へ流れる。

自由層のエネルギー密度 ( $\epsilon$ ) は次のように書き表される:  $\epsilon = K_{u1,eff} \sin^2 \theta + K_{u2} \sin^4 \theta$ 。図 1(b) に磁化状態の  $K_{u1,eff}$ ,  $K_{u2}$  依存性を示している。 $K_{u1,eff} < 0$  かつ  $K_{u2} > -(1/2)K_{u1,eff}$  のときにコーン磁化が安定状態となる。 $K_{u1,eff} > 0$  のときに垂直磁化が安定状態か準安定状態となる。

$\Delta_0$  の解析式は  $\epsilon$  から得られる。図 1(c) の ① の領域すなわち  $[K_{u1,eff} < 0 \text{ かつ } K_{u2} > -(1/2)K_{u1,eff}]$  のとき  $\Delta_0 = (K_{u1,eff} + K_{u2} + \frac{K_{u1,eff}^2}{4K_{u2}})V/(k_B T)$ , ② の領域すなわち  $[K_{u1,eff} > 0 \text{ かつ } K_{u2} \geq -(1/2)K_{u1,eff}]$  のとき  $\Delta_0 = (K_{u1,eff} + K_{u2})V/(k_B T)$ , ③ の領域すなわち  $[K_{u1,eff} > 0 \text{ かつ } K_{u2} \leq -(1/2)K_{u1,eff}]$  のとき  $\Delta_0 = [-K_{u1,eff}^2/(4K_{u2})]V/(k_B T)$  である<sup>3)</sup>。解析式から計算した  $\Delta_0$  の  $K_{u1,eff}$ ,  $K_{u2}$  依存性を図 1(d) に示す。 $K_{u1,eff}$  と  $K_{u2}$  は大きいほど  $\Delta_0$  は大きい。

$J_{sw}$  の解析式はランダウ-リフシッツ-ギルバート方程式から得られる。図 1(e) の ① の領域すなわち  $[K_{u1,eff} > 0 \text{ かつ } K_{u2} \geq (1/4)K_{u1,eff}]$  または  $[K_{u1,eff} < 0 \text{ かつ } K_{u2} > -(1/2)K_{u1,eff}]$  のとき  $J_{sw} = \frac{8}{3\sqrt{6}} \frac{\alpha d |e|}{\hbar P} \sqrt{\frac{(K_{u1,eff} + 2K_{u2})^3}{K_{u2}}}$  であり、 $K_{u1,eff}$  と  $K_{u2}$  は大きいほど  $J_{sw}$  も大きい。一方で ② の領域すなわち  $[K_{u1,eff} > 0 \text{ かつ } K_{u2} \leq (1/4)K_{u1,eff}]$  のとき  $J_{sw} = 4 \frac{\alpha d |e|}{\hbar P} K_{u1,eff}$  であり、 $J_{sw}$  は  $K_{u1,eff}$  のみに比例する。解析式から計算した  $J_{sw}$  の  $K_{u1,eff}$ ,  $K_{u2}$  依存性を図 1(f) に示す。図 1(e), (f) から  $[K_{u1,eff} > 0 \text{ かつ } 0 < K_{u2} \leq (1/4)K_{u1,eff}]$  のときは、 $K_{u2}$  は  $\Delta_0$  の上昇に寄与するものの  $J_{sw}$  を上昇させないことがわかる。 $\Delta_0$  を保持させつつ  $J_{sw}$  を低減させる観点からはこの領域が最も有利であると考えられる。



**Fig. 1** (a) STT-MRAM 素子の模式図. (b): 磁化状態, (c), (d):  $\Delta_0$ , (e), (f):  $J_{sw}$  の  $K_{u1,eff}$ ,  $K_{u2}$  依存性. (c) と (e) は解析式の区分を表す。

## References

- 1) R. Matsumoto, H. Arai, S. Yuasa, and H. Imamura: *Appl. Phys. Express*, **8**, 063007 (2015).
- 2) R. Matsumoto, H. Arai, S. Yuasa, and H. Imamura: *Phys. Rev. B*, **92**, 140409(R) (2015).
- 3) 本文中の数式における記号の意味は次の通りである:  $V$  と  $d$  は自由層の体積と厚さ,  $k_B$  はボルツマン定数,  $T$  は絶対温度,  $\alpha$  はギルバート・ダンピング定数,  $\hbar$  はディラック定数,  $P$  はスピン分極率。